

SUBSTITUTS DU PLASMA ET CRITÈRES DE CHOIX DU PRIMING EN CEC ADULTE

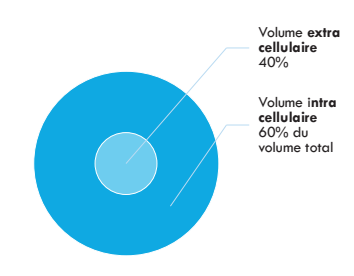
G. BARDONNEAU Praticien hospitalier SAR cardiovasculaire Hôpital Haut-Lévèque

PLAN

- Physiologie
- Impact du priming
- Rétropriming
- Cristalloïdes
- Colloïdes
- Conclusion



COMPARTIMENTS LIQUIDIENS DE L'ORGANISME



PHYSIOLOGIE

Les secteurs intra et extra cellulaire sont séparés par la membrane cellulaire

Les mouvements liquidiens intra/extracellulaires dépendent de l'osmolarité/tonicité

L'osmolarité correspond au nombre d'osmoles par litre de solution

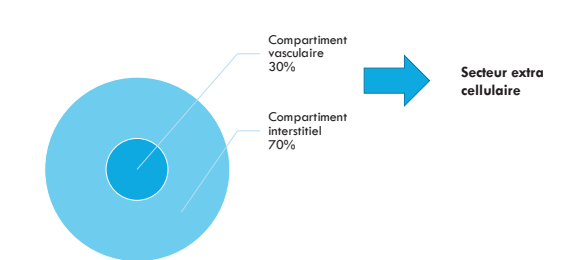
La tonicité se définit par rapport à une cellule, elle ne se mesure pas

- Hypotonique l'eau rentre dans la cellule
- * Isotonique, le volume de la cellule ne varie pas (environ 300 mosmol/l)
- Hypertonique l'eau sort de la cellule



L'objectif de notre priming/soluté de remplissage est d'atteindre le secteur extra cellulaire. Il devra donc être au moins isotonique++

COMPARTIMENTS LIQUIDIENS DE L'ORGANISME



PHYSIOLOGIE

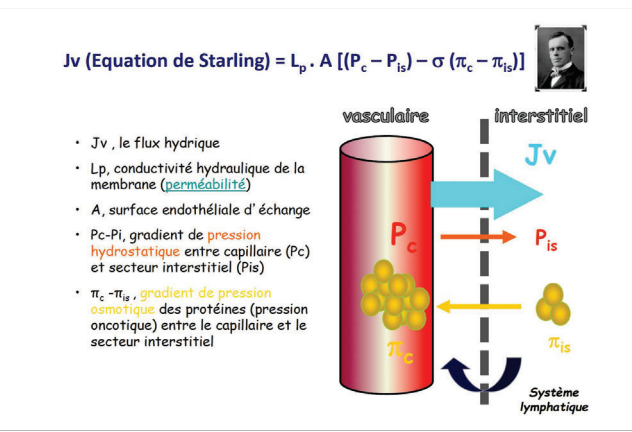
Les échanges entre les compartiments plasmatique et interstitiel sont régit par la théorie de Starling

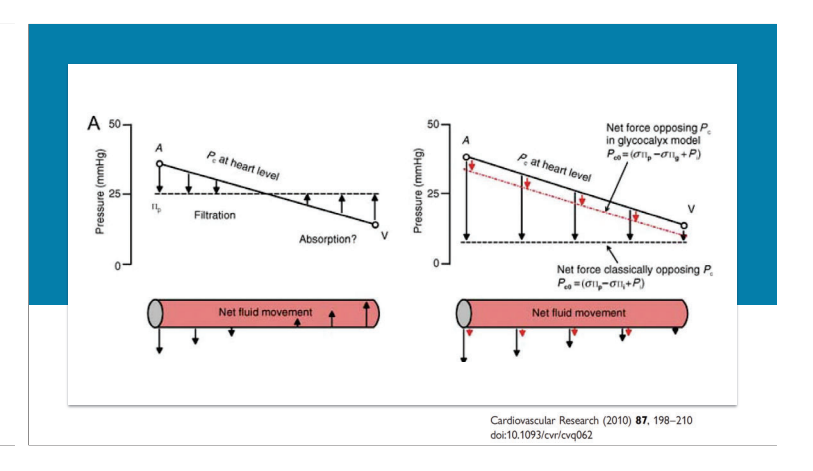
Les échanges liquidiens ont lieu par diffusion, selon des gradients de pression hydrostatique et osmotique

Description réalisée en 1896

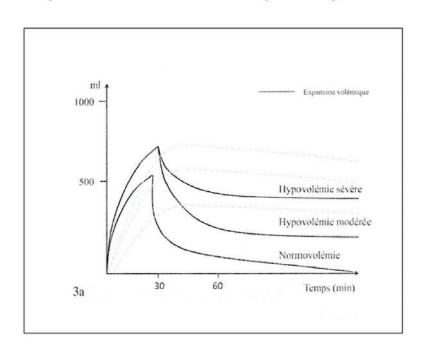
Echanges dépendants de l'équilibre entre la différence de pression hydrostatique et la différence de pression oncotique des secteurs vasculaire et interstitielle

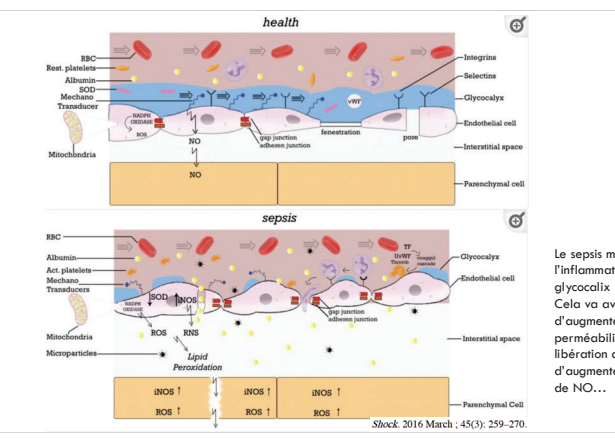
Modèle ancien, actuellement révisé++





Pouvoir d'expansion volumique des cristalloïdes dépend de l'état volémique du patient





Le sepsis mais également l'inflammation va « laver » le glycocalix Cela va avoir pour effet d'augmenter ++ la perméabilité capillaire, la libération de radicaux libre, d'augmenter la production de NO...

PRIMING?

Correspond au liquide d'amorçage de la CEC

Volume variable selon le type de circuit choisi

Entre 800 et 1500ml, soit 25 à 35% du volume circulant total

Impact important sur :

- Hémodilution
- Coagulation
- Surcharge volémique

- ...

CALCUL DU VOLUME SANGUIN/PLASMATIQUE

Evaluation du volume sanguin total:

Homme: 0,075 * Poids Femme: 0,07 * Poids

Evaluation du volume plasmatique (hors

hématies)

Homme: 0,075 * poids * 1-Hct

Femme: 0,07 * poids * 1-Hct

IMPACT DU PRIMING SUR L'HÉMATOCRITE

Patiente de 50 kg ayant une hématocrite de départ de 33%Doit bénéficier d'une CEC, le priming est de 900ml. Quel sera son hématocrite après départ en CEC?

IMPACT DU PRIMING SUR L'HÉMATOCRITE

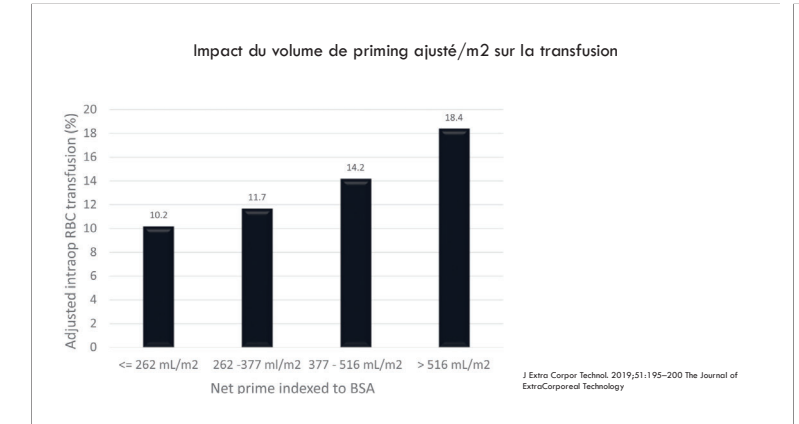
 $\textbf{H\'{e}matocrite sous CEC} = \textbf{Hct} \times \frac{\textbf{VST}}{\textbf{VST+priming}}$

Chez notre patiente:

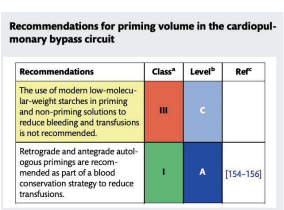
 $VST = 0.07 \times 50 = 3.51$

VST + priming = 4,4I

Hct en CEC = Hct $\times \frac{3.5}{4.4}$ = 26-27%

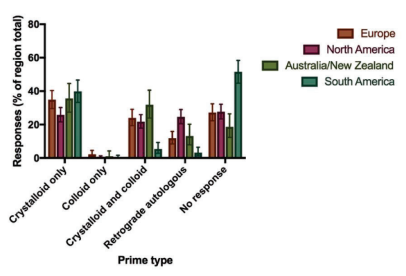


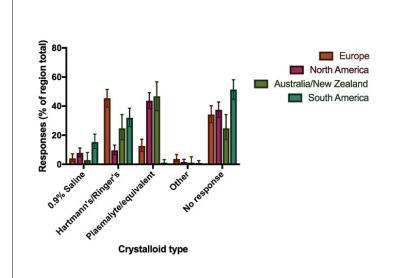
QUE DISENT LES RECOMMANDATIONS?

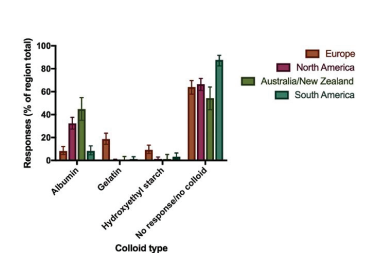


- Pas de soluté clairement
- recommandé
 HES déconseillés
- Mannitol déconseillé
 Intérêt de réduire au maximum le
- volume de priming
 Rétropriming++

QUE FONT LES AUTRES EN PRATIQUE?







Fluids for CPB priming

In these who seek coolede, gates was the preferred type copared with HES and abbunin (60% vs 24% vs 16%)

Submit of Cardiothoracic and Vascular Anesthesia 31 (2017) 1624—1629

Journal of Cardiothoracic and Vascular Anesthesia 31 (2017) 1624—1629

Avant de réfléchir au choix du priming, il convient de diminuer au maximum le volume de ce priming+++

Discussion avec votre perfusionniste sur:

- Choix du type de circuit (6f, 9f), ligne veineuse en 3/8 ème
- Longueur du tubing ++ (environ 200ml/m de tubing)
- Vider l'excédent de priming après débullage
- Réaliser un rétro priming++

RETRO PRIMING

Deux façons de faire:

- Via la canule artérielle, permet de récupérer environ 250ml (tubing artériel)
- Via la canule veineuse, permet de récupérer jusqu'à 1000ml (circuit complet)

Problème de la tolérance du priming selon volémie initiale du patient.

Patient en trendelenburg, en prenant son temps, éventuellement avec faible dose de noradrénaline pour recrutement du secteur veineux.

Hofmann et al. Journal of Cardiothoracic Surgery (2018) 13:50 https://doi.org/10.1186/s13019-018-0739-0

Journal of Cardiothoracic Surgery

RESEARCH ARTICLE



Positive impact of retrograde autologous priming in adult patients undergoing cardiac surgery: a randomized clinical trial

Table 3 Multivariable logistic regression analysis for intraoperative blood transfusion

Variables	Multivariable Logistic Regression					
	OR	95%-CI	р			
BMI (kg/m ²)	0.99	0.84-1.16	0.88			
Baseline Hct (%)	0.75	0.62-0.91	0.003			
Non-RAP	6.93	1.34-35.74	0.02			

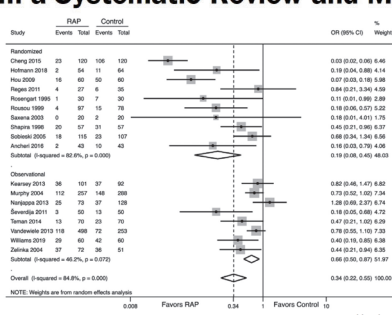
OR Odds Ratio, 95%-CI 95%- confidence interval for OR, BMI body mass index, Hct hematocrit, RAP retrograde autologous priming

Table 4 Multivariable logistic regression analysis for in-hospital

Variables	Multivariable Logistic Regression					
	OR	95%-CI	р			
BMI (kg/m²)	1.26	1.11-1.42	0.0004			
Baseline Hct (%)	0.62	0.52-0.75	< 0.0001			
Blood loss 12 h post-op. (ml.)	1.01	1.002-1.01	0.008			
Non-RAP	3.38	1.13-10.12	0.03			

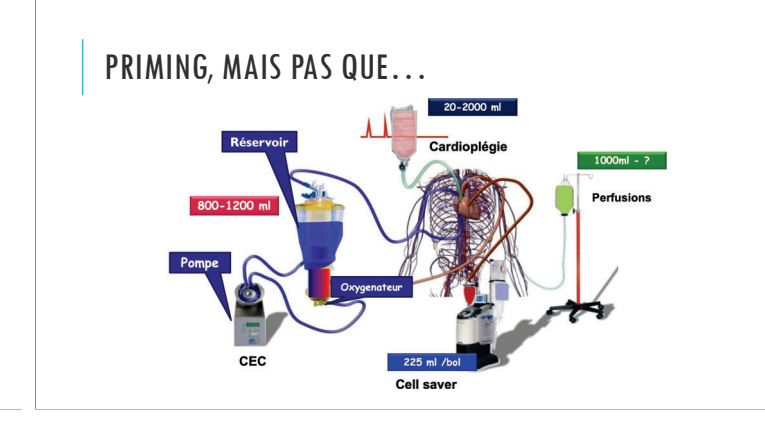
OR Odds Ratio, 95%-CI 95%- confidence interval for OR, BMI body mass index,

Retrograde Autologous Priming in Cardiac Surgery: Results From a Systematic Review and Meta-analysis



Hensley NB et al. Anesth Analg 2021; 132:100-7

CHOIX DU SOLUTÉ DE PRIMING QUAND ON NE FAIT PAS DE RÉTRO PRIMING?



CAHIER DES CHARGES DE NOTRE PRIMING

- Préservation de la pression colloido-osmotique
- Pouvoir d'expansion au moins isovolémique
- Peu d'effet sur l'hémostase
- Préservation de l'équilibre acide-base
- Non allergisant
- Coût minime

SOLUTÉS

Les solutés glucosés...

Diffusion dans tous les compartiments de l'organisme.



Ne peuvent se substituer au



TYPES DE SOLUTÉS DISPONIBLE

CRISTALLOIDES	COLLOIDES
NACL 0,9%	<u>Naturel:</u> Albumine 4%, 5%, 20%
Ringer lactate	De synthèse: Gélatines HEA
Plasmalyte	
Isofundine	

CRISTALLOÏDES

		_	Balancés		7
	Plasma	Isofundine⊕	Ringer Lactate	Plasma- Lyte A®	NaCl 0,9 %
Na* (mmol/l)	142	145	130	140	154
Cl-(mmol/l)	103	127	108	97	154
K+ (mmol/l)	4	4	4	5	0
Ca ²⁺ (mmol/l)	2,4	2,5	0,9	0	0
Mg ²⁺ (mmol/l)	1,2	1	0	3	0
Lactate (mmol/l)	0	0	28	0	0
Acétate (mmol/l)	0	24	0	27	0
Gluconate	0	0	0	23	0
Malate (mmol/l)	0	5	0	0	0
Bicarbonate (HCO ₃ -) (mmol/l)	24	0	0	0	0
Osmolarité (mOsm/l)	285	304	277	295	308

NACL 0,9% VS SOLUTIONS BALANCÉS?

Le NaCl à 0,9% entraine une acidose hyperchlorémique lorsqu'il est utilisé en grande quantité.

Cette acidose serait responsable de nombreux maux...

- Insuffisance rénale par vasoconstriction de l'artère afférente
- Dysfonction immunitaire
- Dysfonction gastro intestinale
- ...

SOLUTÉS BALANCÉS

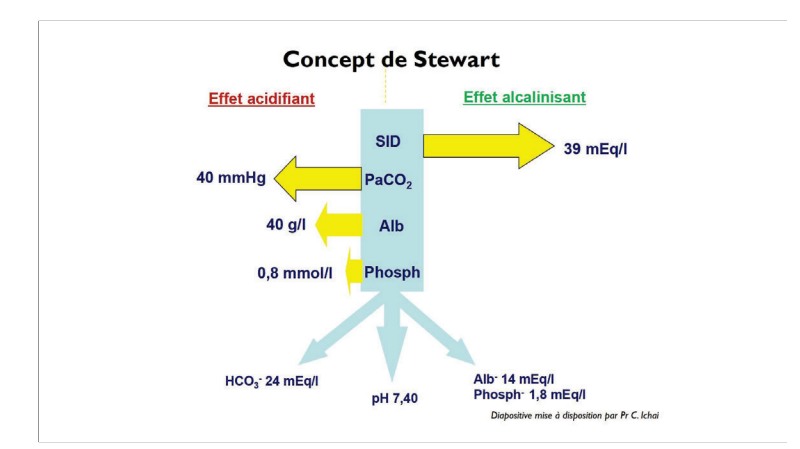
Famille de solutés cristalloïdes dont la concentration ionique se rapproche de celle du plasma.

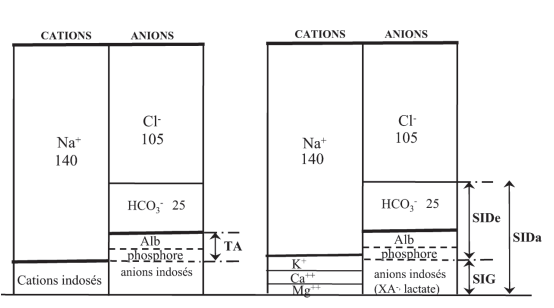
Réduction de la concentration de Chlore par l'emploi de tampons.

Ces tampons sont des anions.

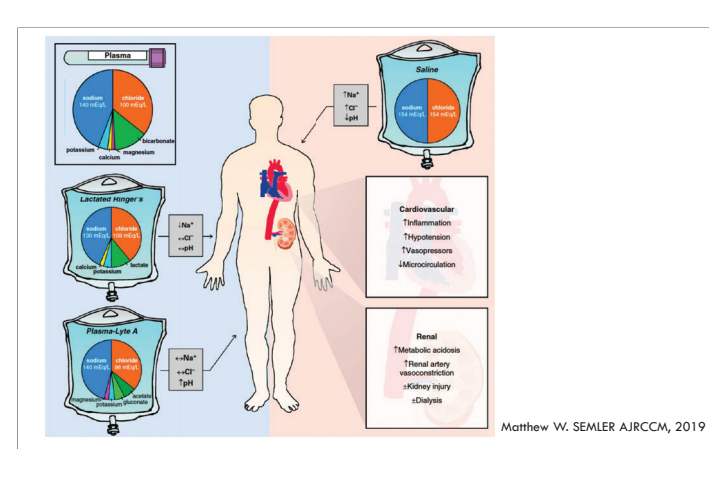
Initialement le HCO3- a été proposé, mais pose des problèmes de stabilité, nécessité de contenant en verre...

Les tampons proposés seront donc le lactate, l'acétate, le gluconate et le malate.

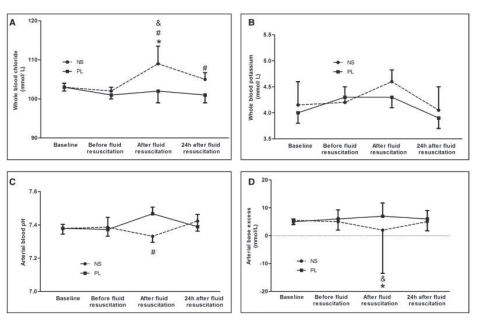




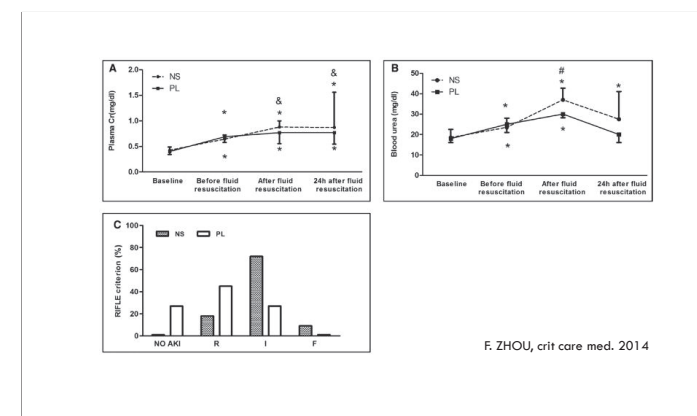
H. Quintard et al. / Annales Françaises d'Anesthésie et de Réanimation 26 (2007) 423–433

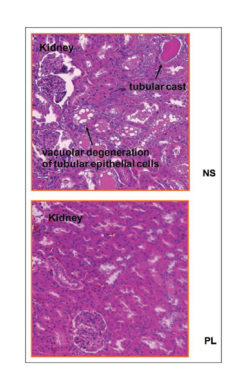


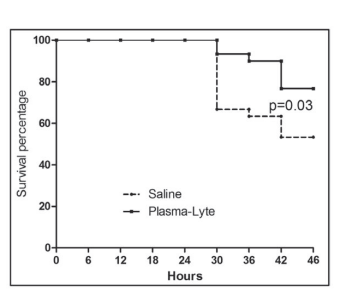




F. ZHOU, crit care med. 2014

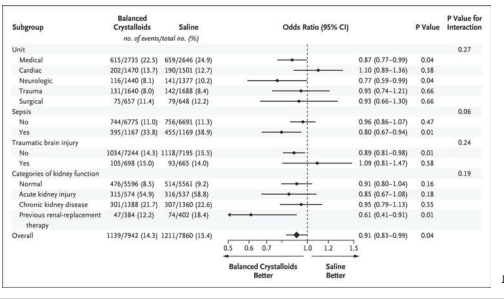






F. ZHOU, crit care med. 2014

ET CHEZ L'HOMME?

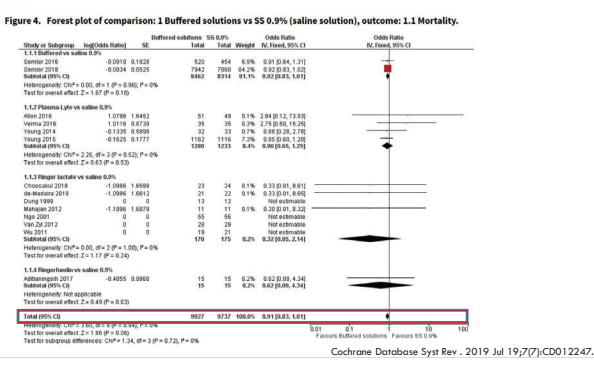


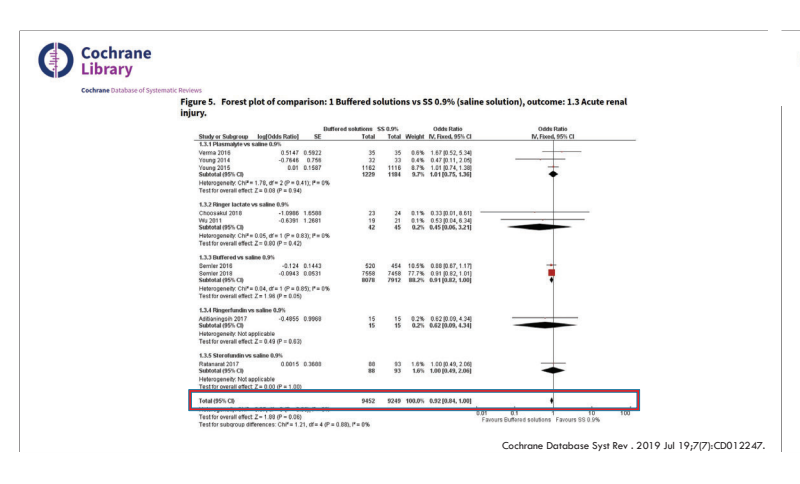
Effet sur la survenue d'évènement majeur en réanimation. Effet significatif en réanimation médicale, neuro. Effet plus important chez les patients septiques, dialysé ?

N Engl J Med. 2018 Mar 1; 378(9): 829-839.

Cochrane Library

Cochrane Database of Systematic Reviews







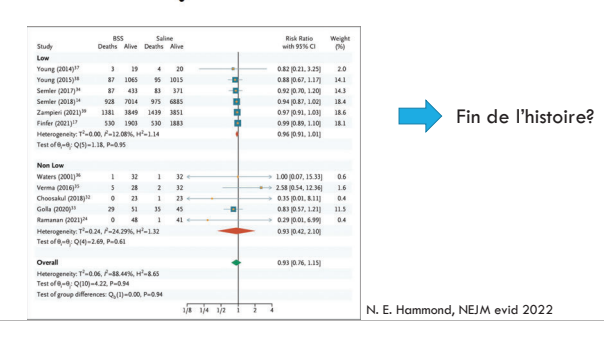
Analysis 1.1. Comparison 1. Ruffered versus non-huffered. Outcome 1. Mortality (all time frames reno

udy or subgroup	Buffered	Non-Buffered		Peto Odds Ratio			Weight	Peto Odds Ratio	
	n/N	n/N n/N		Peto, Fixed, 95% CI				Peto, Fixed, 95% CI	
sse 2011	2/43	1/28		-	_		49.53%	1.75[0.18,17.39	
n 1999	1/60	0/60			•	→	17%	7.39[0.15,372.38	
aters 2001	1/33	1/33		_	_		33.47%	1[0.06,16.34	
otal (95% CI)	136	131		-	_		100%	1.85(0.37,9.33	
stal events: 4 (Buffered), 2 (Non-	Buffered)								
eterogeneity: Tau ² =0; Chi ² =0.67	df=2(P=0.72); I ² =0%								
st for overall effect: Z=0.75(P=0	.45)								
			0.01	0.1 1	10	100	Favours Non-Buffered		
5	Analysis 1.2. 2 Organ sy:	stem failure -	1 Buffe	red versus non insufficiency re			pport.	Odd Bulls	
Study or subgroup	Analysis 1.2. 2 Organ sys	Comparison stem failure -	1 Buffe	red versus non insufficiency re	quirin			Odds Ratio	
Study or subgroup	Analysis 1.2. 2 Organ sy:	Comparison stem failure -	1 Buffe	red versus non insufficiency re	quirin		pport.	Odds Ratio M-H, Fixed, 95% CI 0.4710.09.2.51	
TOTAL CONTRACTOR	Analysis 1.2. 2 Organ sy: Buffered n/N	Comparison stem failure - Non-Buffered n/N	1 Buffe	red versus non insufficiency re	quirin		pport. Weight	M-H, Fixed, 95% CI	
Hadimioglu 2008	Analysis 1.2. 2 Organ sy: Buffered n/N	Comparison stem failure - Non-Buffered n/N 3/30	1 Buffe	red versus non insufficiency re	quirin		Weight 34.62%	M-H, Fixed, 95% CI 0.47[0.09,2.5] 0.5[0.04,5.89]	
Hadimioglu 2008 O'Malley 2005	Analysis 1.2. 2 Organ sys Buffered n/N 3/60 1/25	Comparison stem failure - Non-Buffered n/N 3/30 2/26	1 Buffe	red versus non insufficiency re	quirin		Weight 34.62% 17.15%	M-H, Fixed, 95% CI 0.47[0.09,2.5] 0.5[0.04,5.89] 0.77[0.19,3.18]	
Hadimioglu 2008 O'Malley 2005 Waters 2001	Analysis 1.2. 2 Organ sys Buffered n/N 3/60 1/25 4/33	Comparison stem failure - Non-Buffered n/N 3/30 2/26 5/33	1 Buffe	red versus non insufficiency re	quirin		Weight 34.62% 17.15% 40.03%	M-H, Fixed, 95% CI 0.47[0.09,2.5]	
Hadirnioglu 2008 O'Malley 2005 Waters 2001 Kim 2013	Analysis 1.2. 2 Organ sys Buffered n/N 3/60 1/25 4/33 3/30	Comparison stem failure - Non-Buffered n/N 3/30 2/26 5/33 1/30	1 Buffe	red versus non insufficiency re	quirin		94.62% 17.15% 40.03% 8.2%	M-H, Fixed, 95% CI 0.47[0.09,2.5] 0.5[0.04,5.89] 0.77[0.19,3.18] 3.22[0.32,32.89]	
Hadimioglu 2008 O'Nalley 2005 Waters 2001 Kim 2013 Total (95% CI)	Analysis 1.2. 2 Organ sy: Buffered n/N 3/60 1/25 4/33 3/30 146 Non-Buffered)	Comparison stem failure - Non-Buffered n/N 3/30 2/26 5/33 1/30	1 Buffe	red versus non insufficiency re	quirin		94.62% 17.15% 40.03% 8.2%	M-H, Fixed, 95% CI 0.47[0.09,2.5] 0.5[0.04,5.89] 0.77[0.19,3.18] 3.22[0.32,32.89]	
Hadimioglu 2008 O'Malley 2005 Waters 2001 Kim 2013 Total (95% Ct) Total events: 11 (Buffered), 11 i	Analysis 1.2. 2 Organ sys Buffered n/N 1/25 4/33 3/30 148 Non-Buffered) 12, df-3[P-0.59]; iP-0/6	Comparison stem failure - Non-Buffered n/N 3/30 2/26 5/33 1/30	1 Buffe	red versus non insufficiency re	quirin		94.62% 17.15% 40.03% 8.2%	M-H, Fixed, 95% CI 0.47[0.09,2.5] 0.5[0.04,5.89] 0.77[0.19,3.18] 3.22[0.32,32.89]	

Cochrane Database Syst Rev. 2017 Sep; 2017(9): CD00408

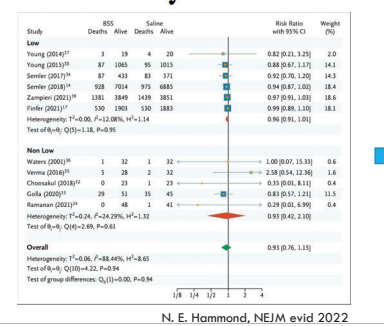
ORIGINAL ARTICLE

Balanced Crystalloids versus Saline in Critically Ill Adults — A Systematic Review with Meta-Analysis



ORIGINAL ARTICLE

Balanced Crystalloids versus Saline in Critically Ill Adults — A Systematic Review with Meta-Analysis



Effet probablement très faible chez le tout venant. Maximal chez le dialysé chronique et septique

ET EN CHIRURGIE CARDIAQUE?

Un essai retrospectif en 2023 sur des patients en choc cardiogénique médicaux (étude avant après passage à une solution balancé, appariement par propensity score).

NS sur mortalité, moins d'EER dans le groupe balancé.

Pas d'essais randomisé comparant un priming Nacl 0,9% vs cristalloides balancés. Etudes de pratiques retrouvant une utilisation importante des solutés balancés.

CRISTALLOÏDES

			Balancés		1
	Plasma	Isofundine⊕	Ringer Lactate	Plasma- Lyte A®	NaCl 0,9 %
Na* (mmol/l)	142	145	130	140	154
Cl-(mmol/l)	103	127	108	97	154
K* (mmol/l)	4	4	4	5	0
Ca2+ (mmol/l)	2,4	2,5	0,9	0	0
Mg ² * (mmol/l)	1,2	1	0	3	0
Lactate (mmol/l)	0	0	28	0	0
Acétate (mmol/l)	0	24	0	27	0
Gluconate	0	0	0	23	0
Malate (mmol/l)	0	5	0	0	0
Bicarbonate (HCO ₃ -) (mmol/l)	24	0	0	0	0
Osmolarité (mOsm/l)	285	304	277	295	308

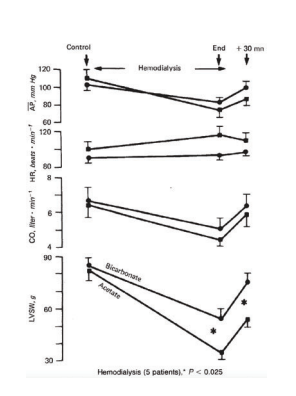
LEQUEL CHOISIR?

Sur le papier, le plus « physiologique » paraît être le plasmalyte

Mais il existe une controverse concernant l'acétate...

Patient septique sous hémodialyse

Effet dépresseur myocardique d'un bain de dialyse à l'acétate



Plasma acetate, gluconate and interleukin-6 profiles during and after cardiopulmonary bypass: a comparison of Plasma-Lyte 148 with a bicarbonate-balanced solution

Priming de 2L de plasmalyte vs solution balancé au

Mesure des concentrations d'acétate avant CEC (T1).

Mesure des concentrations d'acétate avant CEC (TI à 2 minutes (T2), au déclampage (T3), à 4h du seyrage de CEC (T4)

sevrage de CEC (T4)
Décroissance rapide des concentrations
Concentration élevés également dans le groupe
« bicarbonate » du fait de la cardioplégie

Table 3 Untransformed acetate, gluconate and interleukin 6 levels according to time of collecti

Variable	Fluid		T1	T2	T3	T4
cetate (mmol/L)	Bicarbonate	mean	0.17	0.49	0.24	0.03
		SD	0.17	0.94	0.23	0.03
		min	0	0.02	0	0
		median	0.13	0.16	0.17	0.03
		max	0.64	3.49	0.81	0.08
	P148	mean	0.21	4.29	0.49	0.03
		SD	0.18	1.76	0.53	0.06
		min	0	2.46	0	0
		median	0.18	3.69	0.35	0
		max	0.54	8.55	1.84	0.23

Davies et al. Critical Care 2011, 15:R21

J.L. Vincent Kidney international 1982

Physiological response to fluid resuscitation with Ringer lactate versus Plasmalyte in critically ill burn patients

J Appl Physiol 128: 709-714, 2020

Etude prospective, randomisée, mono centrique.

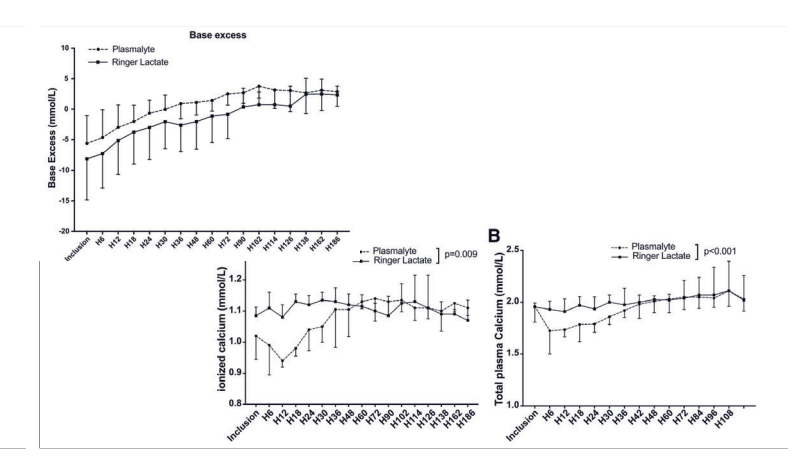
Patients de réanimation grands brulés

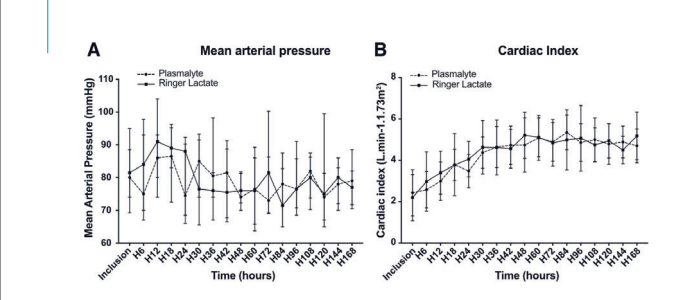
Objectif de comparer les conséquences métabolique selon le soluté choisi

Monitoring des patients par Picco, standardisation ++ des mesures de débit cardiaque

Patients randomisés précocement

Remplissage massif pendant les 24 premières heures (171 de RL, 101 de plasmalyte)





CONCLUSION CRISTALLOÏDES

Solutés de choix pour remplissage de nos patients et donc pour le priming:

• Peu cher

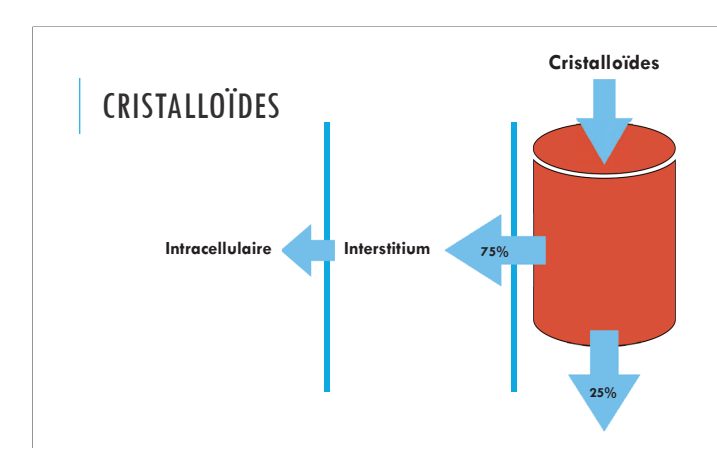
• Impact faible sur la coagulation (dilution)

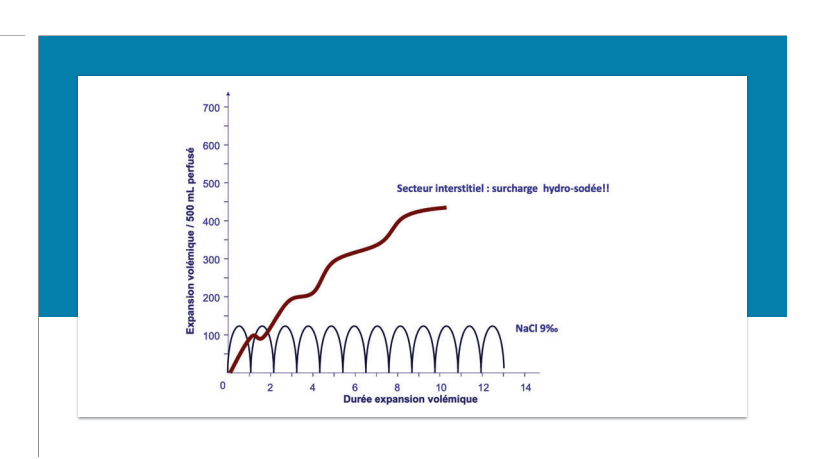
• Pas de nephrotoxicité

Intérêt des solutés balancés, même si effet bénéfice probablement plus faible qu'attendu

Inocuité des tampons ? Pas d'éléments en faveur d'un impact de l'acétate chez nos patients

Importance de connaître la composition de ses cristalloïdes pour une médecine personnalisée





EFFET DE LA SURCHARGE HYDRO SODÉE

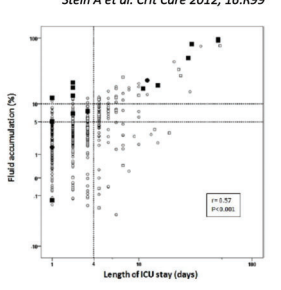
Messmer A. et al. Crit. care 2020

Fluid overload and changes in serum creatinine after cardiac surgery: predictors of mortality and longer intensive care stay. A prospective cohort study

CRITICAL CARE

Stein A et al. Crit Care 2012, 16:R99

- Etude observationnelle (n=502)
- BES quotidien exprimé en fonction du poids corporel (%)



INTÉRÊT D'UTILISER DES COLLOÏDES ?

Solutés à base de macro molécules (protéines, polypeptides, polysaccharides...)

Peuvent être naturels = albumine

De synthèse = Gélatine, Dextrans, amidons

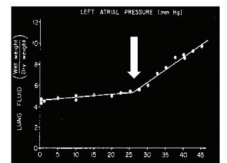
L'objectif de ces molécules est d'augmenter le temps passé au niveau du secteur

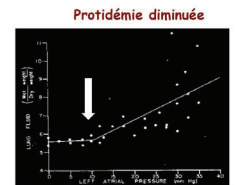


Réduction de la surcharge hydrosodée

Effect of elevated left atrial pressure and decreased plasma protein concentration on the development of pulmonary edema







Guyton et al. Circ Research 1959

Changes in colloid oncotic pressure during cardiac surgery with different prime fluid strategies Anne Maria Beukers, 1.2 Juan de Villiers Hugo, 3 Renard Gerardus Haumann, 1an Willem Taco Boltje, 5 Evy Loan Khaim le, 1 Stephan Alexander Loer, 1 Carolien Suzanna Enna Bulte^{1,2} and Alexander Vonk 2 23.00 P.R. and gelodusine P.R. and alexander Vonk 3 P.R. and gelodusine P.R. and alexander Vonk 4 P.R. and alexander Vonk 5 P.R. and gelodusine P.R. and alexander Vonk 5 P.R. and gelodusine P.R. and alexander Vonk 5 P.R. and gelodusine P.R. and gelodusine P.R. and gelodusine P.R. and alexander Vonk 5 P.R. and gelodusine P.R. and gelodusi

ALBUMINE

Seul colloïde naturel

55% des protéines plasmatiques, 70 à 75% de la pression oncotique PM de 69000 daltons

Solutions à 4%, 5% (hypo ou iso-oncotique) et 20% (hyperoncotiques)

Pouvoir d'expansion volémique 80% (albumine 4%), 400% (albumine 20%)

Durée d'expansion volémique de 6-8 heures

 $\frac{1}{2}$ vie d'élimination : 18 jours (métabolisme par système réticulo-endothélial)

Coût et nécessité d'une traçabilité ++

ALBUMINE

Limiterai la diminution de pression oncotique induite par la dilution

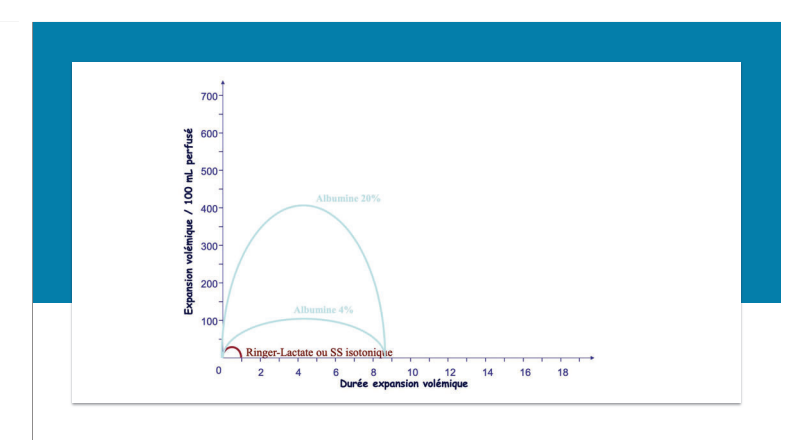
Effet « colloido osmotique »

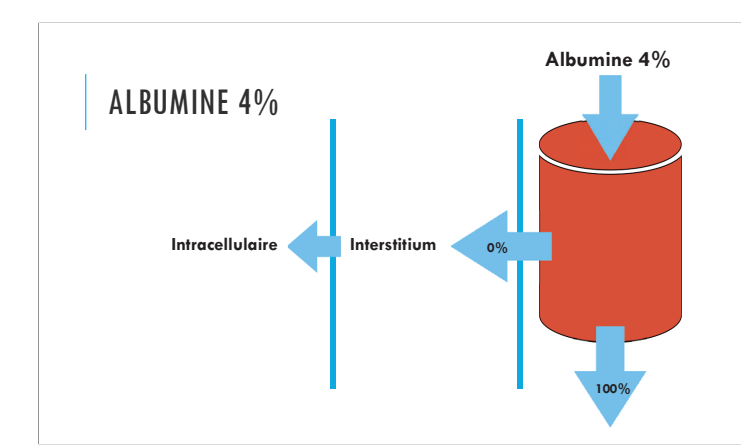
Préserverai le glycocalyx endothélial

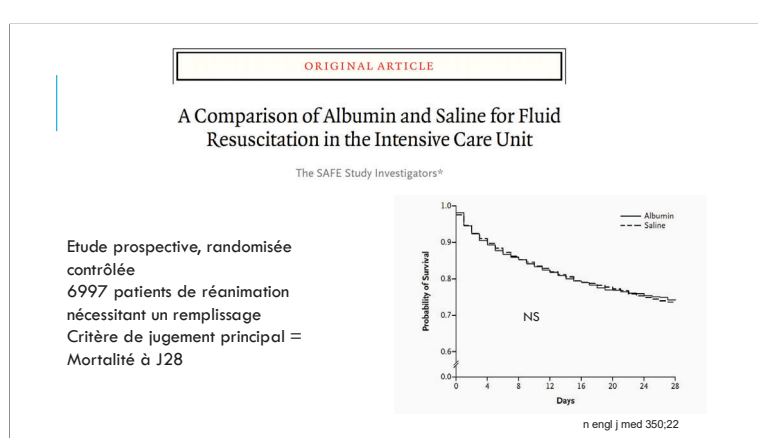
Réduction de l'activation de la consommation de plaquettes

Effet anti inflammatoire et anti oxydant

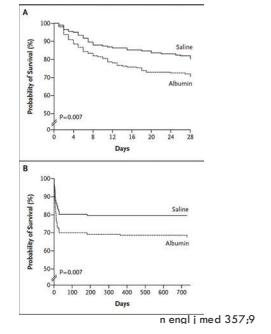
Coût +++, environ 70 euros le flacon d'albumine 4%

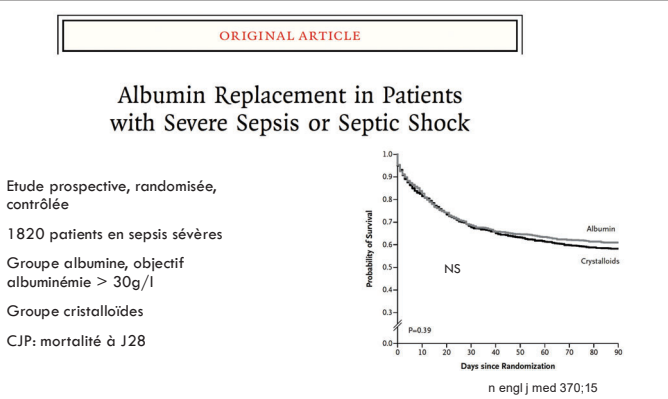






A Comparison of Albumin and Saline for Fluid Resuscitation in the Intensive Care Unit Analyse post hoc des traumatisés craniens de l'étude. Surmortalité des patients traumatisés craniens grave (GSW<8) Liée à l'osmolarité de l'albumine à 4%?



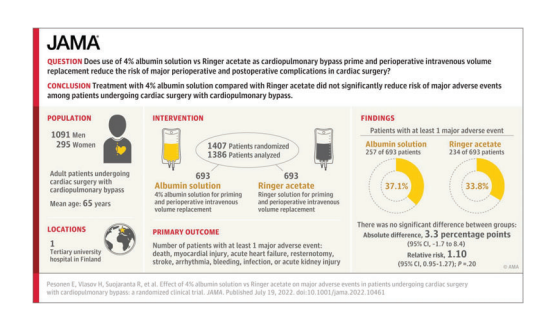


ET EN CHIRURGIE CARDIAQUE?

July 19, 2022

Effect of 4% Albumin Solution vs Ringer Acetate on Major Adverse Events in Patients Undergoing Cardiac Surgery With Cardiopulmonary Bypass

JAMA. 2022;328(3):251-258.



	No. (%) of pat	ients					
	Albumin (n=693)	Ringer (n=693)	Difference (95% CI), %	Relative risk (95% CI)	Favors Favors albumin Ringer	P value	
Major adverse events	257 (37.1)	234 (33.8)	3.3 (-1.7 to 8.4)	1.10 (0.95 to 1.27)	-	.20	
Arrhythmia	91 (13.1)	86 (12.4)	0.7 (-2.8 to 4.2)	1.06 (0.80 to 1.39)	-	.69	
Infection	90 (13.0)	62 (8.9)	4.0 (0.8 to 7.3)	1.45 (1.07 to 1.97)		.02	
Resternotomy	74 (10.7)	40 (5.8)	4.9 (2.0 to 7.8)	1.85 (1.28 to 2.68)	_ -	.001	
Myocardial injury	27 (3.9)	62 (8.9)	-5.1 (-7.6 to -2.5)	0.44 (0.28 to 0.68)		<.001	
Bleeding	52 (7.5)	30 (4.3)	3.2 (0.7 to 5.7)	1.73 (1.12 to 2.68)		.01	
Acute kidney injury	23 (3.3)	18 (2.6)	0.7 (-1.1 to 2.5)	1.28 (0.70 to 2.35)		.43	
Heart failure	18 (2.6)	23 (3.3)	-0.7 (-2.5 to 1.1)	0.78 (0.43 to 1.44)		.43	
Stroke	19 (2.7)	19 (2.7)	0.0 (-1.7 to 1.7)	1.00 (0.53 to 1.87)		>.99	
Death	2 (0.3)	4 (0.6)	-0.3 (-1.0 to 0.4)	0.50 (0.09 to 2.72) <		.42	
				0.2	1		
				0.2	Relative risk (95% CI)		
					Relative risk (95% CI)	3).7	

	No. (%) of patients						
	Albumin (n=693)	Ringer (n=693)	Difference (95% CI), %	Relative risk (95% CI)	Favors albumin	Favors Ringer	P value
Major adverse events	257 (37.1)	234 (33.8)	3.3 (-1.7 to 8.4)	1.10 (0.95 to 1.27)	-	-	.20
Arrhythmia	91 (13.1)	86 (12.4)	0.7 (-2.8 to 4.2)	1.06 (0.80 to 1.39)	_		.69
Infection	90 (13.0)	62 (8.9)	4.0 (0.8 to 7.3)	1.45 (1.07 to 1.97)			.02
Resternotomy	74 (10.7)	40 (5.8)	4.9 (2.0 to 7.8)	1.85 (1.28 to 2.68)			.001
Myocardial injury	27 (3.9)	62 (8.9)	-5.1 (-7.6 to -2.5)	0.44 (0.28 to 0.68)			<.001
Bleeding	52 (7.5)	30 (4.3)	3.2 (0.7 to 5.7)	1.73 (1.12 to 2.68)			.01
Acute kidney injury	23 (3.3)	18 (2.6)	0.7 (-1.1 to 2.5)	1.28 (0.70 to 2.35)			.43
Heart failure	18 (2.6)	23 (3.3)	-0.7 (-2.5 to 1.1)	0.78 (0.43 to 1.44)		_	.43
Stroke	19 (2.7)	19 (2.7)	0.0 (-1.7 to 1.7)	1.00 (0.53 to 1.87)			>.99
Death	2 (0.3)	4 (0.6)	-0.3 (-1.0 to 0.4)	0.50 (0.09 to 2.72)	-		.42
						-	
					0.2	l.	4
					Relative risk	(95% CI)	
					JAM/	4. 2022;328(3):251-258

	No. (%) of pat	ients					
	Albumin (n=693)	Ringer (n=693)	Difference (95% CI), %	Relative risk (95% CI)	Favors albumin	Favors Ringer	P val
lajor adverse events	257 (37.1)	234 (33.8)	3.3 (-1.7 to 8.4)	1.10 (0.95 to 1.27)	-		.20
Arrhythmia	91 (13.1)	86 (12.4)	0.7 (-2.8 to 4.2)	1.06 (0.80 to 1.39)		-	.69
Infection	90 (13.0)	62 (8.9)	4.0 (0.8 to 7.3)	1.45 (1.07 to 1.97)			.02
Resternotomy	74 (10.7)	40 (5.8)	4.9 (2.0 to 7.8)	1.85 (1.28 to 2.68)			.00
Myocardial injury	27 (3.9)	62 (8.9)	-5.1 (-7.6 to -2.5)	0.44 (0.28 to 0.68)			<.00
Bleeding	52 (7.5)	30 (4.3)	3.2 (0.7 to 5.7)	1.73 (1.12 to 2.68)			.01
Acute kidney injury	23 (3.3)	18 (2.6)	0.7 (-1.1 to 2.5)	1.28 (0.70 to 2.35)			.43
Heart failure	18 (2.6)	23 (3.3)	-0.7 (-2.5 to 1.1)	0.78 (0.43 to 1.44)	_	_	.43
Stroke	19 (2.7)	19 (2.7)	0.0 (-1.7 to 1.7)	1.00 (0.53 to 1.87)			>.99
Death	2 (0.3)	4 (0.6)	-0.3 (-1.0 to 0.4)	0.50 (0.09 to 2.72)	-		.42
				0.2		-	

	Albumin (n = 693)	Ringer (n = 693)	Albumin -Ringer, difference of means (95% CI)	P value
Intervention period				
Fluid balance, mL			-1277 (-1433 to -1120)	<.001
Mean (95% CI)	4001 (3900 to 4102)	5278 (5158 to 5397)		
Chest tube drainage, mL			178 (138 to 219)	<.001
Median (IQR)	720 (570 to 950)	590 (460 to 760)		
Red blood cell transfusion, mL			107 (60 to 155)	<.001
Median (IQR)	0 (0 to 500)	0 (0 to 250)		
Platelet transfusion, ml.			71 (41 to 100)	<.001
Median (IQR)	0 (0 to 400)	0 (0 to 0)		
Fresh frozen plasma transfusion, mL			-7 (-42 to 28)	.69
Median (IQR)	0 (0 to 0)	0 (0 to 0)		
90-day Follow-up period				
Days alive without ventilator			-0.1 (-0.6 to 0.4)	.64
Median (IQR)	89 (88 to 89)	89 (88 to 89)		
Days alive outside ICU			-0.3 (-0.8 to 0.2)	.24
Median (IQR)	88 (88 to 88)	88 (88 to 88)		
Days alive at home			-0.4 (-1.7 to 1.0)	.60
Median (IQR)	80 (75 to 82)	81 (76 to 82)		
MACE, %*	18.3	21.5	-3.2 (-7.4 to 1.0)	.14
No. of patients	127	149		
Acute kidney injury, %b	3.3	2.6	0.7 (-1.1 to 2.5)	.43
No of patients	23	18		
Mortality, %	0.3	0.6	-0.3 (-1.0 to 0.4)	.42
No. of patients	2	4		

Comparison of the effects of albumin 5%, hydroxyethyl starch 130/0.4 6%, and Ringer's lactate on blood loss and coagulation after cardiac surgery

British Journal of Anaesthesia 112 (2): 255–64 (2014)

Essai randomisé contrôlé, en aveugle

Patients de chirurgie cardiaque

Patients recevant jusqu'à 50ml/kg d'albumine ou HEA ou ringer lactate

Priming de 1500 ml de la solution de l'étude \pm 100ml de mannitol 20%

Acide tranexamique ou aprotinine

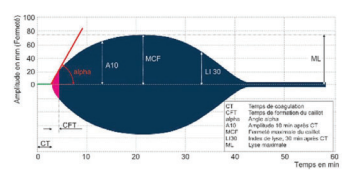
Hypothermie modérée

Evaluation périopératoire par ROTEM

CJP: volume du saignement post opératoire (24h)

Comparison of the effects of albumin 5%, hydroxyethyl starch 130/0.46%, and Ringer's lactate on blood loss and coagulation after cardiac surgery

	HA (n=76)	HES (n=81)	RL (n = 79)	P-value
Chest tube drainage (ml)	835 (545/1253)	700 (540/1090)	670 (455/1015)	0.0850
PRBCS (MI)	300 (0/600)	300 (0/600)	0 (0/300)	0.0004
PRBCs (units)	1 (0/2)	1 (0/2)	0 (0/1)	0.0004
PRBCs intraoperative (ml)	0 (0/600)	0 (0/600)	0 (0/300)	0.0119
PRBCs postoperative (ml)	0 (0/275)	0 (0/250)	0 (0/0)	0.0333
FFP (%)	8	10	5	0.5152
Platelets (%)	7	14	5	0.1186
Fibrinogen (%)	12	16	4	0.0383
Factor concentrate (%)	3	6	3	0.3921
Percentage of patients receiving				
PRBCs (%)	58	61	34	0.0013
Any blood product (%)	62	64	35	0.0003



	HA (n=76)	HES (n=81)	RL (n=79)	P-value
Study solution (ml)				
Intraoperative	2500 (2250/3000)	2500 (2250/2750)	3000 (2500/3500)	< 0.0001
Postoperative	750 (500/1000)	625 (500/1000)	750 (500/1000)	0.7717
Total	3250 (2750/3750)	3000 (2750/3500)	3500 (3000/4000)	0.0027
Non-study fluids				
Intraoperative	2800 (2250/3557)	2350 (1900/2900)	3450 (2474/4350)	< 0.0001
Postoperative	4757 (3102/5407)	5450 (4380/7090)	5570 (4350/6800)	0.0003
Total	7504 (5378/9147)	7870 (6902/10 220)	8700 (7419/11 143)	0.0006
Fluid balance (ml)				
Intraoperative	3969 (1173)	3573 (1125)	4836 (1298)	< 0.001
Postoperative	2272 (1874)	3755 (2454)	3565 (2190)	0.0114
Total	6228 (2456)	7365 (2980)	8336 (2810)	< 0.0001
Study solution (ml kg ⁻¹ day ⁻¹)	44 (34/49)	42 (35/48)	47 (41/49)	0.0084
Crystalloid to colloid ratio	1.4 (0.9/2)	1.7 (1.2/2.5)	NA	0.0281
Urine output _{0-24 h} (ml)	2705 (2010/3455)	2734 (1980/3400)	2930 (2070/3540)	0.9518

British Journal of Anaesthesia 112 (2): 255–64 (2014)

COLLOÏDES DE SYNTHÈSE: GÉLATINES

Polypeptides issus de l'hydrolyse de collagène animal

Gélatine fluides modifiées ou GFM (plasmion, gelofusine)
 Gélatine à pont d'urée (Haemacel)

Pouvoir d'expansion de 0,8

Durée d'action de 4 à 5 heures, élimination rénale Risque allergique non négligeable (0,85% avec GPU)

ANOMALIE DE L'HÉMOSTASE PAR GÉLATINES

Diminution de l'agregabilité plaquettaire

Diminution du facteur de Willebrand

Diminution de la synthèse de thrombine

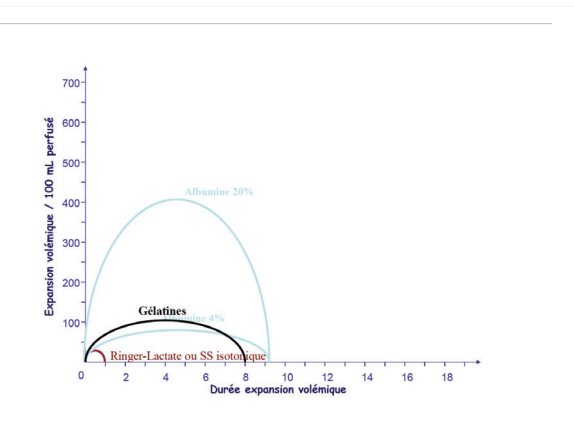
de Jonge et al. Thromb Haemost 1998; 79: 286-90 Mortelmans et al. Anesth Analg 1995; 81: 1235-42

In vitro:

Altération de la polymérisation des monomères de fibrine

GFM, GPU diminuent la formation du caillot

Mardel et al. Br J Anaesth 1998; 80: 204-207



EN RÉANIMATION



Cochrane Database of Systematic Reviews

Colloids versus crystalloids for fluid resuscitation in critically ill people (Review)

Lewis SR, Pritchard MW, Evans DJW, Butler AR, Alderson P, Smith AF, Roberts I

Colloids versus crystalloids for fluid resuscitation in critically ill people (Review)

Study or subgroup	Gelatins	Crystalloids		Risk Rat	io		Weight	Risk Ratio
	n/N	n/N		M-H, Random,	95% CI			M-H, Random, 95% CI
Annane 2013	84/281	372/1107		+			90.32%	0.89[0.73,1.08]
Evans 1996	1/11	2/14		-	_		0.68%	0.64[0.07,6.14]
Ngo 2001	0/56	0/111						Not estimable
Upadhyay 2005	9/29	9/31		-	-		5.89%	1.07[0.49,2.32]
Van der Heijden 2009	3/12	3/12		_	_		1.83%	1[0.25,4]
Wu 2001	2/18	3/16			_		1.28%	0.59[0.11,3.11]
Total (95% CI)	407	1291					100%	0.89[0.74,1.08]
Total events: 99 (Gelatins), 389 (Co	rystalloids)							
Heterogeneity: Tau ² =0; Chi ² =0.56,	df=4(P=0.97); I2=0%							
Test for overall effect: Z=1.17(P=0.	24)							
		Favours gelatins	0.01	0.1 1	10	100	Favours crystalloids	

Perioperative Gelatin Use Is Associated With Increased Complication Rates and Does Not Prevent Postoperative Fluid Overload in Patients Undergoing Elective Cardiac Surgery

H. Katona et al. / Journal of Cardiothoracic and Vascular Anesthesia 37 (2023) 399-406

Outcome Measures	Crystalloid Group N = 191	Gelatin Group N = 191	P Value	
	PS matched co	PS matched cohort $N = 382$		
Primary outcome parameters				
Vasoactive-Inotropic Score	3.53 ± 12.22	4.66 ± 10.94	0.351	
Postoperative fluid balance/24 h, mL	$1,421 \pm 1,155$	$2,255 \pm 1,461$	< 0.0001	
Postoperative fluid overload /24 h, n (%)	6 (3.1%)	21 (11.0%)	0.006	
Postoperative gelatin infusion, mL	-	720 ± 350		

Perioperative Gelatin Use Is Associated With Increased Complication Rates and Does Not Prevent Postoperative Fluid Overload in Patients Undergoing Elective Cardiac Surgery

H. Katoma et al. J Journal of Cardiothoracic and Vascular Anesthesia 37 (2023) 399–406

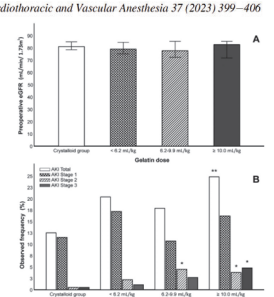
Secondary outcome parameters			
Postoperative blood loss/24 h, mL	468 ± 256	529 ± 316	0.037
Reoperation for bleeding/tamponade, n (%)	5 (2.6%)	8 (4.2%)	0.581
PRC transfusion/24 h, n (%)	18 (9.4%)	32 (16.8%)	0.049
PRC >4 U, n (%)	1 (0.5%)	3 (1.6%)	0.625
Mechanical ventilation, hour	13.6 ± 33.3	22.1 ± 64.5	0.115
MV >24 h, n (%)	13 (6.8%)	12 (6.3%)	1.00
AKI _{total} , n (%)	21 (11.0%)	38 (19.9%)	0.021
AKI stage 1, n (%)	17 (8.9%)	27 (14.1%)	0.143
AKI stage 2, n (%)	0 (0.0%)	6 (3.1%)	0.031
AKI stage 3, n (%)	4 (2.1%)	5 (2.6%)	1.00
RRT, n (%)	1 (0.5%)	3 (1.6%)	0.625
Respiratory failure, n (%)	21 (11%)	17 (8.9%)	0.608
Infection, n (%)	19 (9.9%)	29 (15.2%)	0.174
Sepsis, n (%)	8 (4.2%)	17 (8.9%)	0.108
Gastrointestinal dysfunction, n (%)	16 (8.4%)	29 (15.2%)	0.066
New-onset POAF, n (%)	11 (5.8%)	23 (12.0%)	0.043
Low-cardiac-output-state, n (%)	7 (3.7%)	10 (5.2%)	0.607
Length-of-ICU stay, h	83.2 ± 236.1	81.1 ± 146.0	0.913
Length-of-ICU stay >48 h, n (%)	44 (23.0%)	74 (38.7%)	0.002
Length-of-hospital stay, d	9 ± 10	9 ± 9	0.975
30-day death, n (%)	3 (1.6%)	3 (1.6%)	1.00

Perioperative Gelatin Use Is Associated With Increased Complication Rates and Does Not Prevent Postoperative Fluid Overload in Patients Undergoing Elective Cardiac Surgery

H. Katona et al. / Journal of Cardiothoracic and Vascular Anesthesia 37 (2023) 399-406

endent Predictors of Length of Intensive Care Unit Stay >48 Hours

Variable	OR	95% CI	P Value
Age >70 y	1.183	0.693-2.022	0.537
Gelatin infusion	1.849	1.085-3.151	0.024
CPB time > 120 min	2.149	1.161-3.977	0.015
Preoperative eGFR <45 mL/min/1.73 m ²	2.910	0.931-9.099	0.066
Postoperative AKI	3.506	1.637-7.507	0.001
Preoperative left ventricle EF <35%	3.511	1.042-11.822	0.043
Postoperative sepsis	4.513	0.936-21.760	0.060
New-onset atrial fibrillation	6.234	2.378-16.342	< 0.001
Postonerative low-cardiac-output-state	9.213	1 337-63 477	0.024



COLLOÏDES DE SYNTHÈSE: HEA

Polysaccharide naturels (polymères de glucose) synthétisés à partir de l'amidon de maïs ou de pomme de terre

Hydrolyse enzymatique par l'alpha amylase en C1

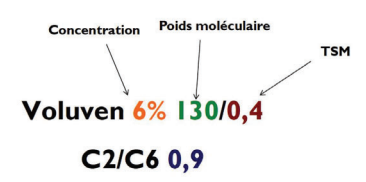
Substitution d'un carbone C2 ou C6 par un radical hydroxyle

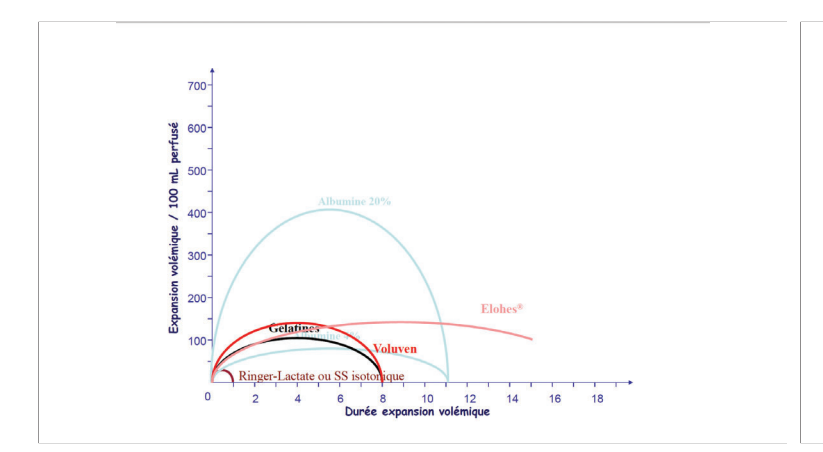
Hydroxylation de C2 offre une plus grande résistance à l'hydrolyse enzymatique

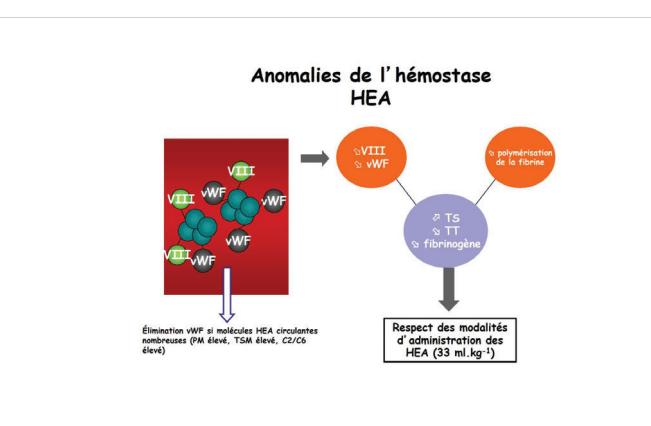
Le taux de subsitution molaire (TSM), correspond au nombre moyen de subsitution par molécule de glucose (0 à 1) et conditionne le pharmacocinétique de l'HEA

TSM et substitution C2/C6 (effet amylase en C1) conditionne la durée d'expension volémique mais aussi la toxicité (accumulation)

Le poids moléculaire et la concentration vont conditionner la pharmacocinétique mais aussi la toxicité et les effets indésirables







TOXICITÉ RÉNALE DES HEA

Caractère hyper oncotique de la molécule, entraîne une chute de la filtration

Dépôts tubulaire d'HEA (vacuoles des tubes proximaux)

Augmentation de la viscosité urinaire tubulaire

Toxicité favorisé par la concentration, le poids moléculaire

Effect of hydroxyethylstarch in brain-dead kidney donors on renal function in kidney-transplant recipients

Dr ML Cittanova, MD 🙏 • I Leblanc, MD • Prof Ch Legendre, MD • C Mouquet, MD PhD • B Riou, MD PhD • Prof P Coriat

Etude contrôlée randomisée

20 patients groupe gélatine (plasmion) 27 patients groupe HEA (Elohes) + gélatine (plasmion) Réanimation hémodynamique des patients en mort encéphalique sur données ETO (standardisée++)

- Plus grande fréquence de dialyse post transplantation (5% vs 33% p<0,05)
 Créatininémie augmentée dans le groupe HEA
 Biopsies retrouvant des lésions osmotiques des tubules
 proximaux, et ce jusqu'à deux ans après la greffe

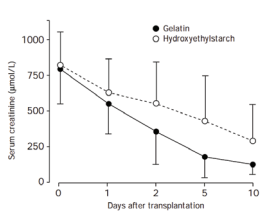
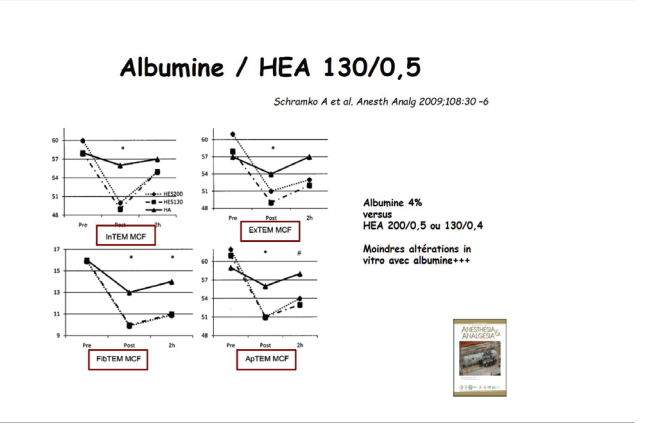


Figure 2: Serum creatinine after transplantation (mean, SD)

Hydroxyethyl Starch 130/0.42 versus Ringer's Acetate in Severe Sepsis N ENGL J MED 367;2 NEJM.ORG JULY 12, 2012







PUBLIÉ LE 26/09/2022 - MIS À JOUR LE 21/10/2022

Suspension des autorisations de mise sur le marché (AMM) des médicaments à base d'hydroxyéthylamidon Clinical impact of disinvestment in hydroxyethyl starch for patients undergoing coronary artery bypass surgery: a retrospective observational study



Can J Anesth/J Can Anesth https://doi.org/10.1007/s12630-018-1245-5

ENVIE D'EXOTISME?

MANNITOL

Entraine un mouvement d'eau libre des espaces intra cellulaire vers l'espace extracellulaire

Elimination rénale, métaboliquement inactif (demi-vie 30 à 100 minutes)

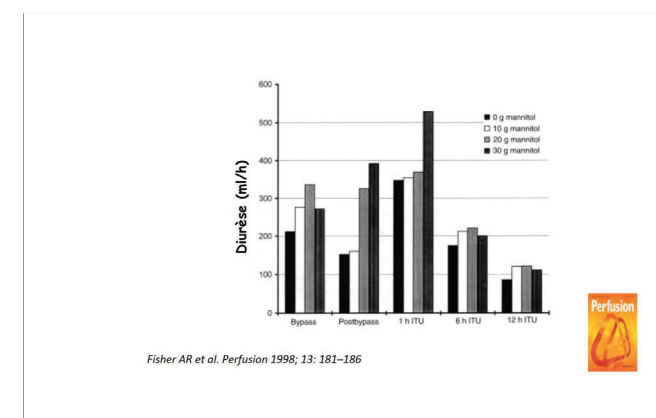
Faible réabsorption tubulaire

Est responsable d'une diurèse osmotique

Aurait des effets nephro-protecteurs au cours de processus ischémique

- Elimination des débris tubulaires
 Diminution de l'ædème des cellules tubulaires
- Diminution de l'ædème glomérulaire
 Augmentation du débit sanguin rénal
- Effet scavenger des radicaux libres présents lors de la reperfusion

Effet systémiques (extension du volume extra cellulaire, diminution de la viscosité sanguine, inhibition de la libération de rénine...)





The effect of mannitol on renal function following cardio-pulmonary bypass in patients with normal pre-operative creatinine*

Chirurgie cardiaque avec CEC (n=40)

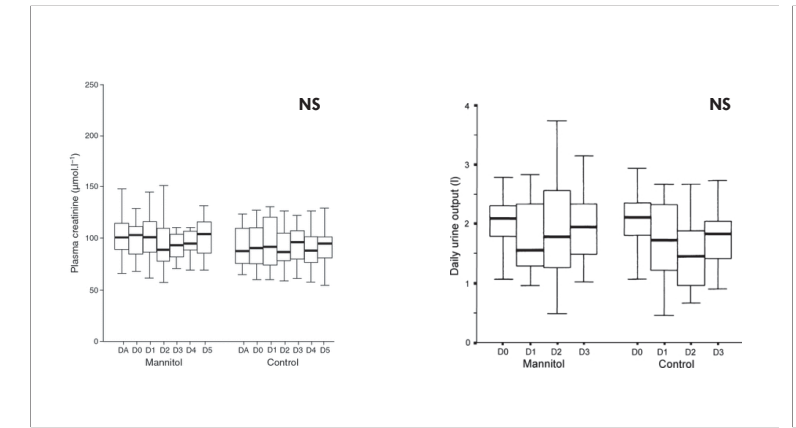
Patients avec fonction rénale normale en préopératoire (créat $< 130 \ \mu mol/l)$

Etude randomisée, groupe mannitol 0,5 g/kg vs placebo

Priming de 1000ml de solution d'Hartmann + 500ml de gelofusine+5000Ul d'héparine

CEC en hypothermie à 30C°

Critères de jugement: diurèse, microalbuminurie, créatinine, urée plasmatique sur 5 jours





The effect of mannitol on renal function after cardiopulmonary bypass in patients with established renal dysfunction*

Chirurgie cardiaque avec CEC (n=50)

Insuffisance rénale pré opératoire (créatininémie entre 130 et 250 μ mol/I)

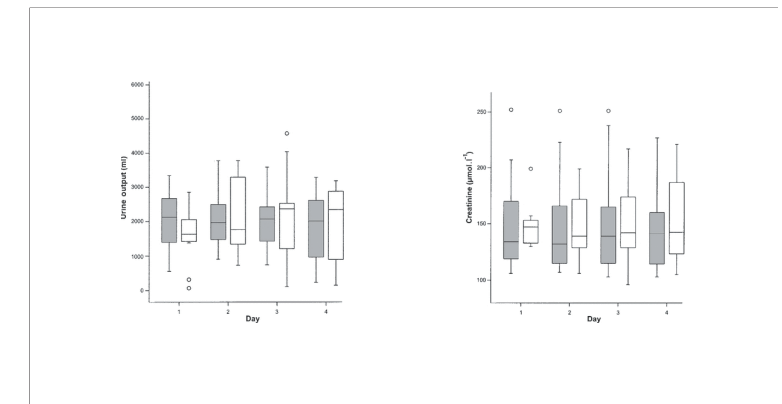
Etude randomisé en deux groupes (mannitol $0.5\,\mathrm{g/kg}$ de mannitol vs placebo)

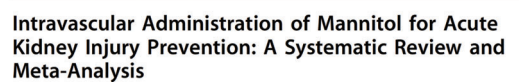
Priming par 1000ml de solution d'Hartmann + 500ml de gelofusine + 5000 Ul d'héparine

CEC en hypothermie à 32C°

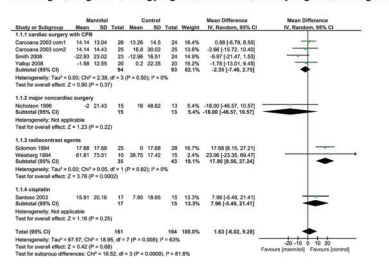
OPEN & ACCESS Freely available online

Critères de jugement : diurèse, créatininémie et urée plasmatique sur 4 jours

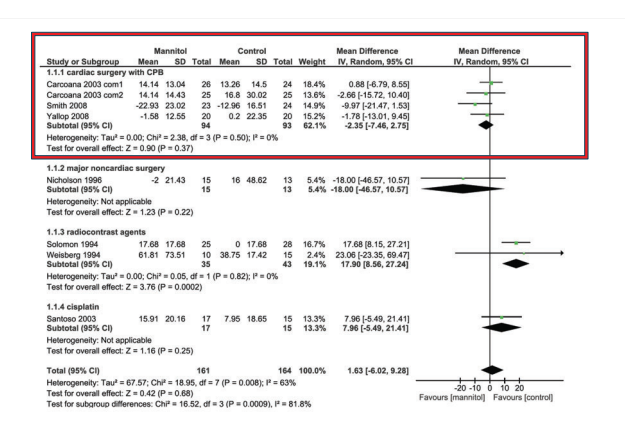




Bo Yang¹⁸, Jing Xu¹⁸, Fengying Xu², Zui Zou², Chaoyang Ye¹, Changlin Mei¹⁸, Zhiguo Mao¹⁸



Meta analyse de 2014. Pool 9 études dont 4 en chirurgie cardiaque.



EFFET SUR LE DÉLIRIUM?

openheart Effect of mannitol on postoperative delirium in patients undergoing coronary artery bypass graft: a randomised controlled trial

> Masumeh Hemmati Maslakpak ¹ , Sohrab Negargar ¹ , Ali Farbod ¹ , Ahmadali Khalili ¹ , Eisa Bilehjani ¹ , Vahid Alinejad ¹ , Amir Faravan ¹ Hemmati Maslakpak M, et al. Open Heart 2024;11:e002743. doi:10.1136/openhrt-2024-002743

Etude contrôlée, randomisée. 90 patients. Monocentrique (Iran)

Patients programmés pour pontages

Priming 200ml de mannitol/placebo (RL) + 900ml de RL + 50 ml de HCO3Na

Anesthésie protocolée, sédation par midazolam/fentanyl

Diagnostique de confusion par DOSS, 1 fois par équipe infirmière

Durée moyenne de séjour en réanimation de 18h...

Table 3	Postoperative outcome

Variables	Control group (n=45)	Intervention group (n=45)	P value
POD	19 (42.2%)	10 (22.2%)	0.035*
30-day mortality	2 (4.4%)	1 (2.22%)	0.50*
Readmission to operating room	3 (6.66%)	3 (6.66%)	0.66*

 $^*\chi 2$ test. POD, postoperative delirium.

Hemmati Maslakpak M, et al. Open Heart 2024;11:e002743. doi:10.1136/openhrt-2024-002743

CONCLUSION

Limiter au maximum les apports hydrosodés inutiles

Favoriser le rétropriming

Privilégier les solutions balancés

Méfiance concernant les tampons

L'utilisation de colloïdes dans le priming limite la chute de pression oncotique et le BES

Mais risque de coagulopathie, de nephrotoxicité, et d'allergie non nul++

Innocuité de l'albumine humaine questionnée

Le mannitol n'apporte aucun avantage en terme de protection rénale